

Starkniederschlagshöhen und -spenden gemäß KOSTRA-DWD-2020

Rasterfeld 192140

(Zeile 192, Spalte 140)

Regenspende und Bemessungsniederschlagswerte in Abhängigkeit von Wiederkehrzeit T und Dauerstufe D

| Dauerstufe D | | Wiederkehrzeit T | | | | | | | | | | | | | | | | | |
|--------------|-----|------------------|------------|------|------------|-------|------------|-------|------------|-------|------------|-------|------------|-------|------------|-------|------------|-------|------------|
| | | 1 a | | 2 a | | 3 a | | 5 a | | 10 a | | 20 a | | 30 a | | 50 a | | 100 a | |
| min | Std | mm | l / (s ha) | mm | l / (s ha) | mm | l / (s ha) | mm | l / (s ha) | mm | l / (s ha) | mm | l / (s ha) | mm | l / (s ha) | mm | l / (s ha) | mm | l / (s ha) |
| 5 | | 7,5 | 250,0 | 9,1 | 303,3 | 10,1 | 336,7 | 11,4 | 380,0 | 13,2 | 440,0 | 15,2 | 506,7 | 16,4 | 546,7 | 18,1 | 603,3 | 20,4 | 680,0 |
| 10 | | 9,7 | 161,7 | 11,7 | 195,0 | 13,0 | 216,7 | 14,7 | 245,0 | 17,1 | 285,0 | 19,6 | 326,7 | 21,2 | 353,3 | 23,3 | 388,3 | 26,4 | 440,0 |
| 15 | | 11,1 | 123,3 | 13,5 | 150,0 | 14,9 | 165,6 | 16,8 | 186,7 | 19,6 | 217,8 | 22,5 | 250,0 | 24,3 | 270,0 | 26,8 | 297,8 | 30,3 | 336,7 |
| 20 | | 12,2 | 101,7 | 14,8 | 123,3 | 16,4 | 136,7 | 18,5 | 154,2 | 21,5 | 179,2 | 24,7 | 205,8 | 26,7 | 222,5 | 29,4 | 245,0 | 33,3 | 277,5 |
| 30 | | 13,9 | 77,2 | 16,8 | 93,3 | 18,7 | 103,9 | 21,1 | 117,2 | 24,5 | 136,1 | 28,1 | 156,1 | 30,4 | 168,9 | 33,5 | 186,1 | 37,8 | 210,0 |
| 45 | | 15,8 | 58,5 | 19,1 | 70,7 | 21,2 | 78,5 | 23,9 | 88,5 | 27,8 | 103,0 | 31,9 | 118,1 | 34,5 | 127,8 | 38,0 | 140,7 | 42,9 | 158,9 |
| 60 | 1 | 17,2 | 47,8 | 20,9 | 58,1 | 23,1 | 64,2 | 26,1 | 72,5 | 30,4 | 84,4 | 34,8 | 96,7 | 37,7 | 104,7 | 41,5 | 115,3 | 46,9 | 130,3 |
| 90 | 1,5 | 19,5 | 36,1 | 23,6 | 43,7 | 26,2 | 48,5 | 29,5 | 54,6 | 34,4 | 63,7 | 39,4 | 73,0 | 42,6 | 78,9 | 46,9 | 86,9 | 53,1 | 98,3 |
| 120 | 2 | 21,2 | 29,4 | 25,8 | 35,8 | 28,5 | 39,6 | 32,2 | 44,7 | 37,5 | 52,1 | 42,9 | 59,6 | 46,5 | 64,6 | 51,2 | 71,1 | 57,9 | 80,4 |
| 180 | 3 | 24,0 | 22,2 | 29,1 | 26,9 | 32,2 | 29,8 | 36,4 | 33,7 | 42,4 | 39,3 | 48,5 | 44,9 | 52,5 | 48,6 | 57,8 | 53,5 | 65,4 | 60,6 |
| 240 | 4 | 26,2 | 18,2 | 31,7 | 22,0 | 35,1 | 24,4 | 39,7 | 27,6 | 46,2 | 32,1 | 52,9 | 36,7 | 57,3 | 39,8 | 63,0 | 43,8 | 71,3 | 49,5 |
| 360 | 6 | 29,5 | 13,7 | 35,8 | 16,6 | 39,7 | 18,4 | 44,8 | 20,7 | 52,1 | 24,1 | 59,7 | 27,6 | 64,6 | 29,9 | 71,1 | 32,9 | 80,4 | 37,2 |
| 540 | 9 | 33,3 | 10,3 | 40,4 | 12,5 | 44,8 | 13,8 | 50,5 | 15,6 | 58,8 | 18,1 | 67,3 | 20,8 | 72,9 | 22,5 | 80,3 | 24,8 | 90,8 | 28,0 |
| 720 | 12 | 36,3 | 8,4 | 44,0 | 10,2 | 48,8 | 11,3 | 55,0 | 12,7 | 64,0 | 14,8 | 73,4 | 17,0 | 79,4 | 18,4 | 87,4 | 20,2 | 98,9 | 22,9 |
| 1080 | 18 | 40,9 | 6,3 | 49,6 | 7,7 | 55,0 | 8,5 | 62,1 | 9,6 | 72,3 | 11,2 | 82,7 | 12,8 | 89,6 | 13,8 | 98,6 | 15,2 | 111,5 | 17,2 |
| 1440 | 24 | 44,6 | 5,2 | 54,1 | 6,3 | 59,9 | 6,9 | 67,6 | 7,8 | 78,7 | 9,1 | 90,1 | 10,4 | 97,6 | 11,3 | 107,4 | 12,4 | 121,5 | 14,1 |
| 2880 | 48 | 54,8 | 3,2 | 66,4 | 3,8 | 73,6 | 4,3 | 83,1 | 4,8 | 96,7 | 5,6 | 110,7 | 6,4 | 119,9 | 6,9 | 132,0 | 7,6 | 149,2 | 8,6 |
| 4320 | 72 | 61,8 | 2,4 | 74,9 | 2,9 | 83,0 | 3,2 | 93,7 | 3,6 | 109,0 | 4,2 | 124,9 | 4,8 | 135,3 | 5,2 | 148,9 | 5,7 | 168,3 | 6,5 |
| 5760 | 96 | 67,3 | 1,9 | 81,6 | 2,4 | 90,4 | 2,6 | 102,0 | 3,0 | 118,8 | 3,4 | 136,0 | 3,9 | 147,3 | 4,3 | 162,1 | 4,7 | 183,3 | 5,3 |
| 7200 | 120 | 71,9 | 1,7 | 87,2 | 2,0 | 96,6 | 2,2 | 109,0 | 2,5 | 126,9 | 2,9 | 145,3 | 3,4 | 157,4 | 3,6 | 173,2 | 4,0 | 195,9 | 4,5 |
| 8640 | 144 | 75,9 | 1,5 | 92,0 | 1,8 | 102,0 | 2,0 | 115,1 | 2,2 | 134,0 | 2,6 | 153,4 | 3,0 | 166,2 | 3,2 | 182,8 | 3,5 | 206,8 | 4,0 |
| 10080 | 168 | 79,5 | 1,3 | 96,3 | 1,6 | 106,8 | 1,8 | 120,5 | 2,0 | 140,2 | 2,3 | 160,6 | 2,7 | 173,9 | 2,9 | 191,4 | 3,2 | 216,5 | 3,6 |

Starkniederschlagshöhen und -spenden gemäß KOSTRA-DWD-2020

Rasterfeld 192140

(Zeile 192, Spalte 140)

Örtliche Unsicherheiten in Abhängigkeit von Wiederkehrzeit T und Dauerstufe D

| Dauerstufe D | | Wiederkehrzeit T | | | | | | | | |
|--------------|-----|------------------|-----|-----|-----|------|------|------|------|-------|
| | | 1 a | 2 a | 3 a | 5 a | 10 a | 20 a | 30 a | 50 a | 100 a |
| min | Std | ± % | ± % | ± % | ± % | ± % | ± % | ± % | ± % | ± % |
| 5 | | 16 | 17 | 18 | 18 | 19 | 19 | 20 | 20 | 21 |
| 10 | | 20 | 21 | 22 | 23 | 23 | 24 | 24 | 25 | 25 |
| 15 | | 21 | 23 | 24 | 24 | 25 | 26 | 26 | 27 | 27 |
| 20 | | 22 | 24 | 24 | 25 | 26 | 27 | 27 | 27 | 28 |
| 30 | | 23 | 24 | 25 | 26 | 26 | 27 | 27 | 28 | 28 |
| 45 | | 22 | 24 | 25 | 25 | 26 | 27 | 27 | 28 | 28 |
| 60 | 1 | 22 | 23 | 24 | 25 | 26 | 26 | 27 | 27 | 28 |
| 90 | 1,5 | 21 | 22 | 23 | 24 | 25 | 25 | 26 | 26 | 27 |
| 120 | 2 | 20 | 21 | 22 | 23 | 24 | 24 | 25 | 25 | 26 |
| 180 | 3 | 19 | 20 | 21 | 22 | 22 | 23 | 23 | 24 | 24 |
| 240 | 4 | 17 | 19 | 20 | 20 | 21 | 22 | 22 | 23 | 23 |
| 360 | 6 | 16 | 17 | 18 | 19 | 20 | 20 | 21 | 21 | 22 |
| 540 | 9 | 15 | 16 | 17 | 17 | 18 | 19 | 19 | 20 | 20 |
| 720 | 12 | 14 | 15 | 16 | 16 | 17 | 18 | 18 | 19 | 19 |
| 1080 | 18 | 13 | 14 | 15 | 15 | 16 | 16 | 17 | 17 | 18 |
| 1440 | 24 | 12 | 13 | 14 | 14 | 15 | 16 | 16 | 16 | 17 |
| 2880 | 48 | 12 | 12 | 13 | 13 | 14 | 14 | 14 | 15 | 15 |
| 4320 | 72 | 12 | 12 | 12 | 13 | 13 | 13 | 14 | 14 | 14 |
| 5760 | 96 | 12 | 12 | 12 | 13 | 13 | 13 | 13 | 14 | 14 |
| 7200 | 120 | 13 | 13 | 13 | 13 | 13 | 13 | 13 | 14 | 14 |
| 8640 | 144 | 13 | 13 | 13 | 13 | 13 | 13 | 13 | 14 | 14 |
| 10080 | 168 | 14 | 13 | 13 | 13 | 13 | 13 | 14 | 14 | 14 |

Parameter für abweichende T und D

Lokationsparameter ξ (Xi)

17,38992659

Skalenparameter α (Alpha)

5,12787322

Formparameter κ (Kappa)

-0,1

1. Koutsoyiannis-Parameter θ (Theta)

0,01322386

2. Koutsoyiannis-Parameter η (Eta)

0,70334772

Parameter für dauerstufenübergreifende Extremwertschätzung nach KOUTSOYIANNIS et al. 1998.

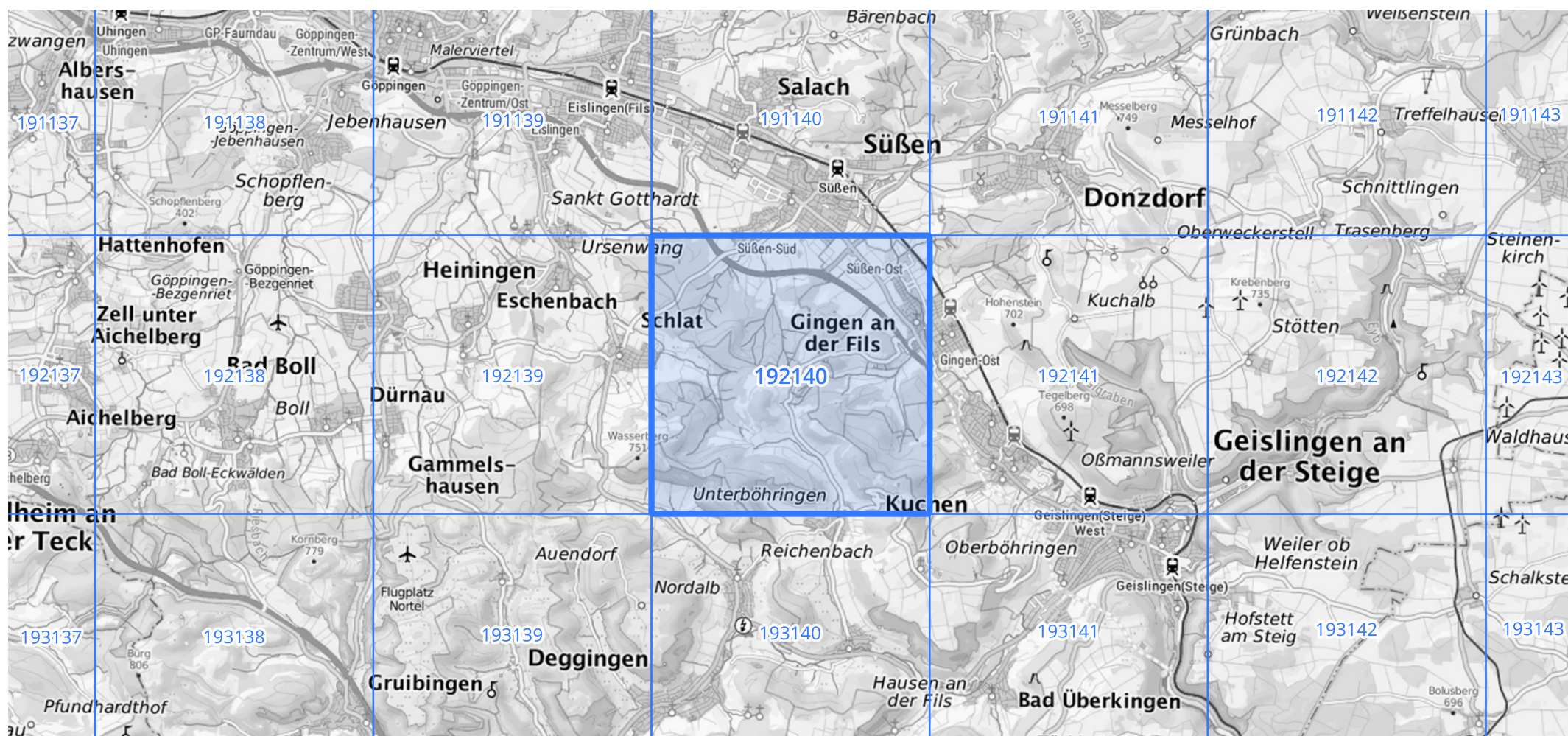
Siehe auch Anwendungshilfe zu KOSTRA-DWD-2020 des Deutschen Wetterdienstes.

Starkniederschlagshöhen und -spenden gemäß KOSTRA-DWD-2020

Rasterfeld 192140

(Zeile 192, Spalte 140)

Übersichtskarte des Rasterfeldes 192140, M 1 : 100 000



Quelle Rasterdaten: KOSTRA-DWD-2020 des Deutschen Wetterdienstes, Stand 12/2022.

Seite 3 von 3

Kartendarstellung: © Bundesamt für Kartographie und Geodäsie (2023), Datenquellen: https://sgx.geodatenzentrum.de/web_public/gdz/datenquellen/Datenquellen_TopPlusOpen.html

Für die Richtigkeit und Aktualität der Angaben wird keine Gewähr übernommen. Erstellt 01/2023.